

## LAPORAN PENELITIAN

# **Pengembangan Aplikasi Deteksi Tepi Citra Medis menggunakan Operator Kompas**



Disusun oleh:  
B. Yudi Dwiandiyanta, S.T., M.T.

Program Studi Teknik Informatika  
Fakultas Teknologi Industri  
Universitas Atma Jaya Yogyakarta  
2011

## LEMBAR PENGESAHAN LAPORAN PENELITIAN

No. Proposal:

1. a. Judul Penelitian : Pengembangan Aplikasi Deteksi Tepi Citra Medis menggunakan Algoritma Kompas
- b. Macam penelitian : Laboratorium / Lapangan
2. Personalia Ketua Penelitian
  - a. Nama : B. Yudi Dwandiyanta, S.T., M.T.
  - b. Jenis Kelamin : Laki-laki
  - c. Usia saat pengajuan proposal : 34 tahun 9 bulan
  - d. Jabatan : Lektor Kepala / IIID akademik/Golongan
  - e. Fakultas/Prodi : Fakultas Teknologi Industri / Teknik Informatika
3. Lokasi Penelitian : Laboratorium Komputasi FTI UAJY
4. Jangka waktu penelitian : 6 bulan
5. Biaya yang diperlukan : Rp. 3.030.000,00

Yogyakarta, 19 Juli 2011  
Ketua Peneliti,

B. Yudi Dwiandiyanta, S.T., M.T.

Dekan Fakultas Teknologi Industri,  
a.n Wakil Dekan I FTI

Ketua LPPM,

Kusworo Anindito, S.T., M.T.

Dr. Ir. Y. Djarot Purbadi, M.T.

## INTISARI

Penggunaan pengolahan citra digital berkembang pesat sejalan dengan berkembangnya teknologi komputer di segala bidang. Beberapa contoh bidang kehidupan yang membutuhkan pengolahan citra digital di antaranya adalah bidang kesehatan: segmentasi untuk membedakan bagian-bagian sel darah, deteksi kerusakan organ tubuh, deteksi keberadaan tumor; bidang teknologi industri: deteksi tepi untuk pengenalan pola hasil produksi dengan membedakannya dengan *background*; bidang geografi: *filtering* untuk menghilangkan *noise* pada citra pemetaan geografis, klasifikasi dalam pemetaan geografis; dan bidang-bidang lainnya. Deteksi tepi perlu dilakukan karena adanya teori bahwa sistem penglihatan manusia (*Human Visual System* / HVS) menunjukkan beberapa urutan dari deteksi tepi terlebih dahulu sebelum pengenalan warna atau intensitas citra (McCane, 2001).

Dalam penelitian ini akan digunakan deteksi tepi citra dengan menggunakan operator kompas. Operator kompas yang dipilih adalah operator kompas dan Kirsch. Sebagai objek dalam penelitian ini digunakan citra medis dengan format .bmp maupun .jpg dan kedalaman warna 24-bit. Hasil keluaran perangkat lunak yang dikembangkan adalah citra hasil deteksi tepi dengan format .png dan format citra biner. Pengembangan perangkat lunak yang digunakan dalam penelitian ini adalah *software* Matlab 6.1.

Berdasarkan dengan penelitian yang telah dilakukan, aplikasi deteksi tepi citra medis menggunakan algoritma kompas ini telah dapat dikembangkan. Hasil operasi deteksi tepi citra yang dikembangkan akan mengalami gangguan yang signifikan apabila diberikan gangguan *noise salt and pepper*, *histogram equalization*, dan operasi penapisan dengan tapis lolos atas (*High Pass Filtering*). Algoritma yang dikembangkan cukup dapat bertahan terhadap pengolahan citra pemberian *noise Gaussian* dan penapisan lolos bawah (*Low Pass Filtering*).

**Keyword:** Deteksi tepi, operator kompas, operator Kirsch

## KATA PENGANTAR

Puji syukur kepada Allah Yang Kudus, atas berkat dan kasih sayang-Nya, akhirnya penulis dapat menyelesaikan penelitian dengan judul "Pengembangan Aplikasi Deteksi Tepi Citra Medis menggunakan Algoritma Kompas" untuk diajukan sebagai penelitian di Lembaga Penelitian dan Pengabdian pada Masyarakat Universitas Atma Jaya Yogyakarta.

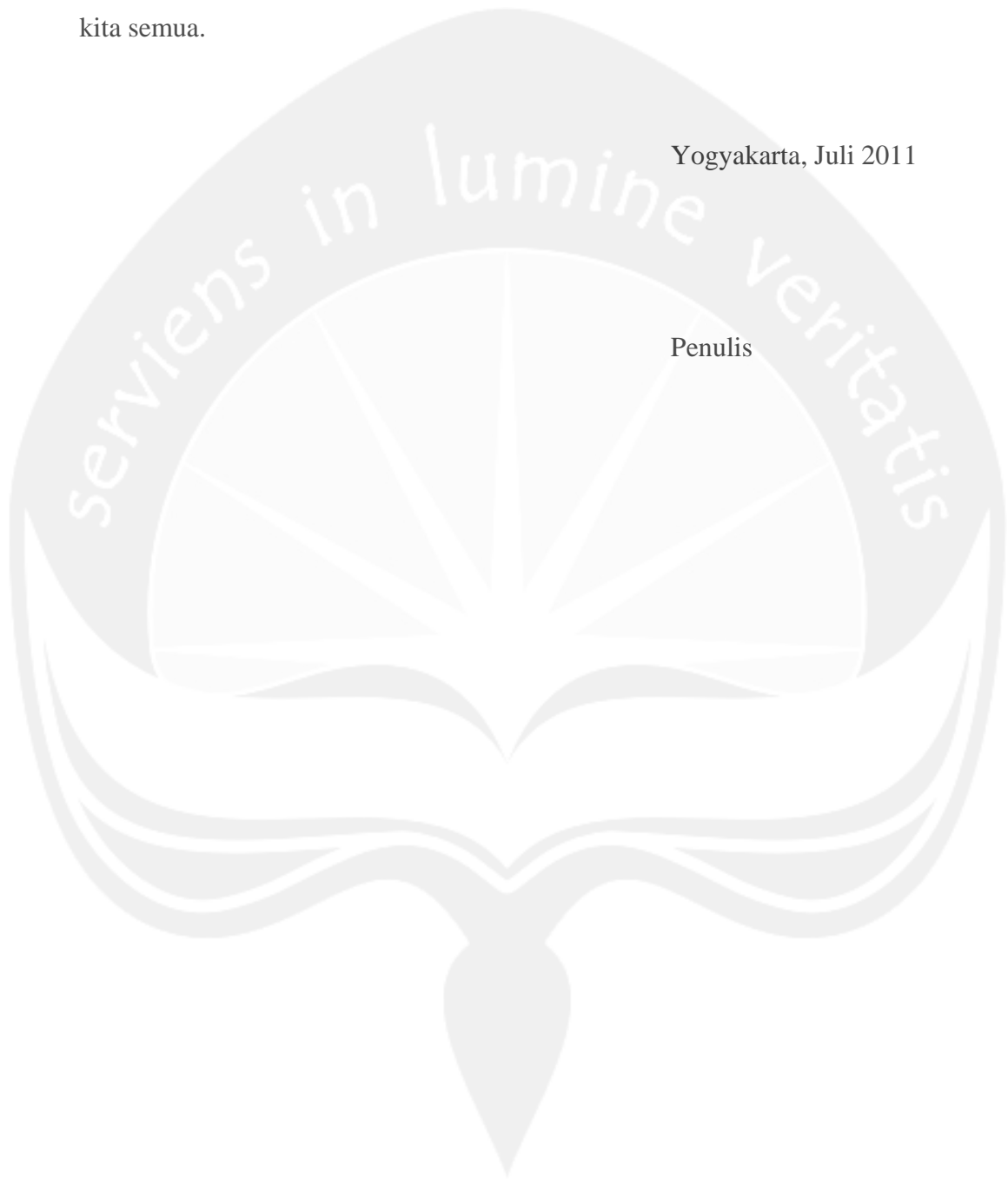
Dalam kesempatan ini penulis mengucapkan terimakasih kepada:

1. Dr. Ir. Y. Djarot Purbadi, M.T., selaku Ketua Lembaga Penelitian dan Pengabdian pada Masyarakat Universitas Atma Jaya Yogyakarta.
2. Ir. B. Kristyanto, M.Eng., Ph.D., selaku Dekan Fakultas Teknologi Industri Universitas Atma Jaya Yogyakarta.
3. Rekan-rekan di Fakultas Teknologi Industri UAJY yang tidak dapat disebutkan satu persatu.

Tak lupa penulis mohon masukan yang bersifat korektif agar tulisan ini dapat menjadi lebih baik. Akhir kata, semoga tulisan ini dapat bermanfaat bagi kita semua.

Yogyakarta, Juli 2011

Penulis



## DAFTAR ISI

HALAMAN PENGESAHAN	i
INTISARI	ii
KATA PENGANTAR	iii
DAFTAR ISI	v
BAB I PENDAHULUAN	1
BAB II TINJAUAN PUSTAKA	2
BAB III MASALAH, TUJUAN DAN MANFAAT	
3.1. Perumusan Masalah	14
3.2. Tujuan Penelitian	14
3.3. Manfaat Penelitian	14
BAB IV METODOLOGI PENELITIAN	15
4.1. Pengumpulan Bahan	15
4.3. Perancangan Perangkat Lunak	15
4.4. Pembuatan Perangkat Lunak	15
4.5. Pengujian Perangkat Lunak	15
BAB V ANALISIS DAN PERANCANGAN SISTEM	
5.1. Pengantar	16
5.2. Deskripsi Keseluruhan	16
5.3. Kebutuhan Khusus	17
5.4. Kebutuhan Fungsionalitas	19

## BAB VI HASIL DAN PEMBAHASAN

6.1. Hasil	22
6.2. Deteksi Tepi Citra Menggunakan Operator Kompas	24
6.3. Deteksi Tepi Citra Menggunakan Operator Kirsch	26
6.4. Pembahasan Program	28
6.5. Pengaruh <i>noise</i> dan Operasi Pengolahan Citra	32

## BAB VII KESIMPULAN DAN SARAN

7.1. Kesimpulan	38
7.2. Saran	38

DAFTAR PUSTAKA	39
----------------	----

LAMPIRAN	L-1
----------	-----

## BAB I

### PENDAHULUAN

Penggunaan pengolahan citra digital berkembang pesat sejalan dengan berkembangnya teknologi komputer di segala bidang. Beberapa contoh bidang kehidupan yang membutuhkan pengolahan citra digital di antaranya adalah bidang kesehatan: segmentasi untuk membedakan bagian-bagian sel darah, deteksi kerusakan organ tubuh, deteksi keberadaan tumor; bidang teknologi industri: deteksi tepi untuk pengenalan pola hasil produksi dengan membedakannya dengan *background*; bidang geografi: *filtering* untuk menghilangkan *noise* pada citra pemetaan geografis, klasifikasi dalam pemetaan geografis; dan bidang-bidang lainnya.

Pengolahan citra digital digunakan untuk melakukan interpretasi terhadap citra digital. Beberapa teknik yang digunakan dalam pengolahan citra adalah *filtering*, *enhancement*, deteksi tepi, segmentasi, klasifikasi, kompresi, rekonstruksi citra dan lain-lain.

Beberapa alasan yang mendukung kegunaan deteksi tepi dalam aplikasi kehidupan sehari-hari adalah :

- o Manusia memiliki kecenderungan dalam mengenal suatu obyek atau kecenderungan kumpulan obyek dengan melihat tepi dari citra.
- o Adanya teori (yang dapat dijadikan sebagai alasan psikologis), yaitu bahwa sistem penglihatan manusia (*Human Visual System / HVS*) menunjukkan beberapa urutan dari deteksi tepi terlebih dahulu sebelum pengenalan warna atau intensitas citra (McCane, 2001).

Adapun latar belakang dilakukan perbandingan beberapa algoritma deteksi tepi adalah untuk memperoleh hasil tepi yang baik dan dengan waktu yang seefisien mungkin. Kriteria hasil tepi yang baik adalah tidak menyertakan atau setidaknya mengurangi *noise* tanpa harus kehilangan informasi sinyal utama citra, peka terhadap sinyal tepi yang lemah.



## BAB II

### TINJAUAN PUSTAKA

Deteksi tepi citra yang digunakan untuk citra medis telah banyak dikembangkan. Thangam et. al. (2009) meneliti tentang deteksi tepi citra medis menggunakan diskriminasi tekstur. Zeng et. al. (2008) menggunakan fuzzy-set untuk melakukan deteksi tepi citra medis. Deteksi tepi cira medis dapat juga dilakukan dengan menggunakan pemrograman dinamis untuk menghasilkan deteksi tepi citra yang optimal (Lee et. al., 2001). Deteksi tepi citra dapat pula diterapkan pada runtun data medis (Bingrong et. al., 2008), medical Thermogram (Selvarasu et. al., 2007), citra berderau (Suzuki, 2003; Gonzalez, 2009), deteksi medical x-Ray (Benjelloun et. Al., 2007), dan citra organ 3-D (Naef, et. al. 1996).

Tepi adalah sekumpulan piksel yang terhubung (*connected pixel*) yang berada pada suatu batas antara dua daerah (Thongsongkrit, 2002). Tepi dapat dideteksi dengan melakukan konvolusi menggunakan matriks-matriks yang diperoleh dari derivatif piksel tetangga lokal. Implementasi derivatif yang biasa digunakan untuk deteksi tepi adalah:

- a. Deteksi lokal maksima dari derivatif pertama (Operator Gradien).
- b. Deteksi *zero-crossing* dari derivatif kedua (Operator Laplacian).

Beberapa operator deteksi tepi yang diimplementasikan dan dianalisis dalam penelitian ini adalah:

1. Operator gradien: Sobel, Prewitt, Isotropik, Schotastic.
2. Operator kompas: Kompas, Kirsch, Robinson.
3. Operator Laplacian.
4. Detektor Canny.

Kriteria hasil detektor tepi yang baik yaitu, kebal terhadap *noise*, memberikan *detail* tepi yang baik, peka terhadap sinyal tepi untuk citra dengan kontras yang kurang baik dan mempunyai beban komputasi yang lebih kecil.

### 3.1. Operator Gradien

Proses penggunaan operator gradien dengan menggunakan derivatif pertama untuk menemukan tepi dapat dilakukan dengan langkah-langkah:

1. Penentuan gradien citra untuk mengetahui intensitas variasi lokal dengan melakukan konvolusi dengan matriks konvolusi  $G_x$  dan  $G_y$ . Matriks konvolusi  $G_x$  dan  $G_y$  diperoleh dari pendekatan diskret derivatif parsial fungsi  $f(x,y)$ . Penentuan matriks konvolusi ditunjukkan dalam hubungan-hubungan dari persamaan-persamaan berikut.

$$\nabla f(x, y) = \begin{pmatrix} \frac{\partial f}{\partial x} \\ \frac{\partial f}{\partial y} \end{pmatrix} \quad (2.1)$$

Gradien  $G_x$  diperoleh dari pendekatan diferensial horisontal atau derivatif parsial terhadap  $x$  pada fungsi  $f(x,y)$ :

$$\frac{\partial f(x, y)}{\partial x} = f(x, y) - f(x-1, y) \quad (2.2)$$

sehingga diperoleh matriks konvolusi

$$G_x = \begin{bmatrix} 1 & -1 \end{bmatrix}$$

Gradien  $G_y$  diperoleh dari pendekatan diferensial vertikal atau derivatif parsial terhadap  $y$  pada fungsi  $f(x,y)$ :

$$\frac{\partial f(x, y)}{\partial y} = f(x, y) - f(x, y-1) \quad (2.3)$$

sehingga diperoleh matriks konvolusi

$$G_y = \begin{bmatrix} 1 \\ -1 \end{bmatrix} \quad (2.4)$$

Dengan langkah yang sama maka dapat ditentukan matriks konvolusi  $G_x$  dan  $G_y$  dengan ukuran yang berbeda, misalnya  $2 \times 2$ ,  $3 \times 3$ ,  $5 \times 5$  dan lain seterusnya.

2. Penentuan *magnitude* citra sebagai tepi:

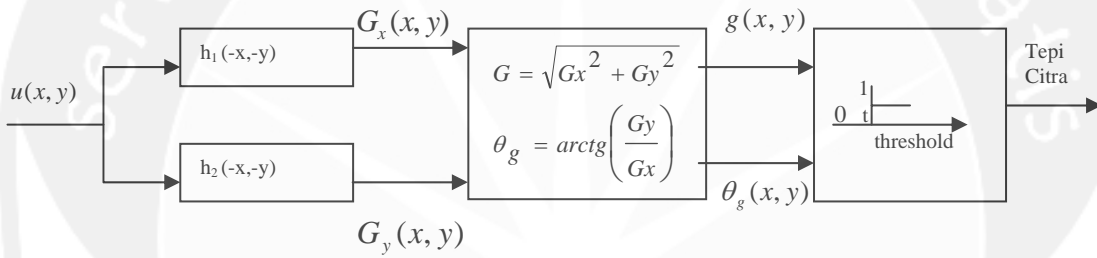
$$magnitude(\nabla f) = \sqrt{\left(\frac{\partial f}{\partial x}\right)^2 + \left(\frac{\partial f}{\partial y}\right)^2} = \sqrt{G_x^2 + G_y^2} \quad (2.5)$$

Penentuan besar sudut atau arah untuk mengetahui kecenderungan arah tepi lokal

$$arah(\nabla f) = \tan^{-1}(G_y / G_x)$$

$$\theta(x, y) = a \tan \left( \frac{\frac{\partial f}{\partial y}}{\frac{\partial f}{\partial x}} \right) \quad (2.6)$$

Secara ringkas, penentuan tepi dengan operator gradien dapat dilihat pada Gambar 2.1 (Jain, 1995).



Gambar 2.1. Diagram Blok Deteksi Tepi Dengan Operator Gradien.

Matriks konvolusi untuk operator gradien yang sering digunakan (Jain, 1995):

1. Detektor Prewitt

$$G_x = \begin{bmatrix} -1 & 0 & 1 \\ -1 & 0 & 1 \\ -1 & 0 & 1 \end{bmatrix} \text{ dan } G_y = \begin{bmatrix} 1 & 1 & 1 \\ 0 & 0 & 0 \\ -1 & -1 & -1 \end{bmatrix} \quad (2.7)$$

2. Detektor Sobel

$$G_x = \begin{bmatrix} -1 & 0 & 1 \\ -2 & 0 & 2 \\ -1 & 0 & 1 \end{bmatrix} \text{ dan } G_y = \begin{bmatrix} 1 & 2 & 1 \\ 0 & 0 & 0 \\ -1 & -2 & -1 \end{bmatrix} \quad (2.8)$$

3. Detektor isotropik

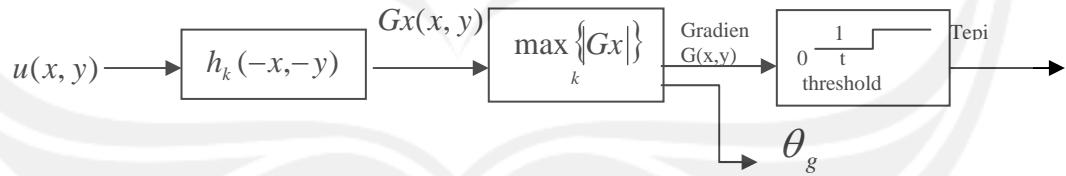
$$G_x = \begin{bmatrix} -1 & 0 & 1 \\ -\sqrt{2} & 0 & \sqrt{2} \\ -1 & 0 & 1 \end{bmatrix} \text{ dan } G_y = \begin{bmatrix} 1 & \sqrt{2} & 1 \\ 0 & 0 & 0 \\ -1 & -\sqrt{2} & -1 \end{bmatrix} \quad (2.9)$$

#### 4. Detektor Stochastic

$$G_x = \begin{bmatrix} -0.776 & 0 & 0.776 \\ -1 & 0 & 1 \\ -0.776 & 0 & 0.776 \end{bmatrix} \text{ dan } G_y = \begin{bmatrix} 0.776 & 1 & 0.776 \\ 0 & 0 & 0 \\ -0.776 & -1 & -0.776 \end{bmatrix} \quad (2.10)$$

### 3.2. Operator Kompas

Deteksi tepi menggunakan operator kompas dilakukan dengan menghitung gradien pada 8 arah mata angin kemudian tepi ditentukan dari gradien maksimum (Jain, 1995). Gambar 2.2 merupakan alur operator kompas dalam menentukan deteksi tepi (Jain, 1995).



Gambar 2.2. Diagram Blok Deteksi Tepi Dengan Operator Kompas.

Beberapa operator yang menggunakan algoritma operator kompas yang sering digunakan (Jain, 1995):

#### 1. Matriks konvolusi untuk operator kompas

$$S = \begin{bmatrix} -1 & -1 & -1 \\ 0 & 0 & 0 \\ 1 & 1 & 1 \end{bmatrix} \quad W = \begin{bmatrix} 1 & 0 & -1 \\ 1 & 0 & -1 \\ 1 & 0 & -1 \end{bmatrix}$$

$$N = \begin{bmatrix} 1 & 1 & 1 \\ 0 & 0 & 0 \\ -1 & -1 & -1 \end{bmatrix} \quad E = \begin{bmatrix} -1 & 0 & 1 \\ -1 & 0 & 1 \\ -1 & 0 & 1 \end{bmatrix}$$

$$SE = \begin{bmatrix} -1 & -1 & 0 \\ -1 & 0 & 1 \\ 0 & 1 & 1 \end{bmatrix} \quad SW = \begin{bmatrix} 0 & -1 & -1 \\ 1 & 0 & -1 \\ 1 & 1 & 0 \end{bmatrix}$$

$$NW = \begin{bmatrix} 1 & 1 & 0 \\ 1 & 0 & -1 \\ 0 & -1 & -1 \end{bmatrix} \quad NE = \begin{bmatrix} 0 & 1 & 1 \\ -1 & 0 & 1 \\ -1 & -1 & 0 \end{bmatrix}$$

Gambar 2.3. Matriks Konvolusi Operator Kompas.

## 2. Matriks konvolusi untuk detektor Kirsch

$$S = \begin{bmatrix} 5 & 5 & 5 \\ -3 & 0 & -3 \\ -3 & -3 & -3 \end{bmatrix} \quad W = \begin{bmatrix} -3 & 5 & 5 \\ -3 & 0 & 5 \\ -3 & -3 & -3 \end{bmatrix}$$

$$N = \begin{bmatrix} -3 & -3 & 5 \\ -3 & 0 & 5 \\ -3 & -3 & 5 \end{bmatrix} \quad E = \begin{bmatrix} 5 & 5 & -3 \\ 5 & 0 & -3 \\ -3 & -3 & -3 \end{bmatrix}$$

$$SE = \begin{bmatrix} -3 & -3 & -3 \\ -3 & 0 & -3 \\ 5 & 5 & 5 \end{bmatrix} \quad SW = \begin{bmatrix} -3 & -3 & -3 \\ 5 & 0 & -3 \\ 5 & 5 & -3 \end{bmatrix}$$

$$NW = \begin{bmatrix} 5 & -3 & -3 \\ 5 & 0 & -3 \\ 5 & -3 & -3 \end{bmatrix} \quad NE = \begin{bmatrix} -3 & -3 & 5 \\ -3 & 0 & 5 \\ -3 & 5 & 5 \end{bmatrix}$$

Gambar 2.4. Matriks Konvolusi Operator Kirsch.

## 3. Matriks konvolusi untuk detektor Robinson

$$S = \begin{bmatrix} 1 & 2 & 1 \\ 0 & 0 & 0 \\ -1 & -2 & -1 \end{bmatrix} \quad W = \begin{bmatrix} 0 & 1 & 2 \\ -1 & 0 & 1 \\ -2 & -1 & 0 \end{bmatrix}$$

$$N = \begin{bmatrix} -1 & 0 & 1 \\ -2 & 0 & 2 \\ -1 & 0 & 1 \end{bmatrix} \quad E = \begin{bmatrix} 2 & 1 & 0 \\ 1 & 0 & -1 \\ 0 & -1 & -2 \end{bmatrix}$$

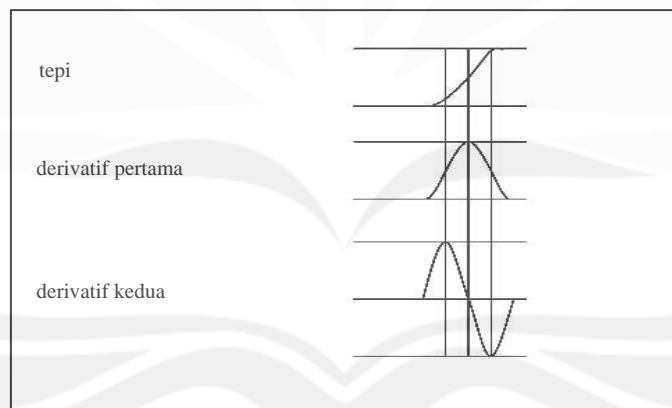
$$SE = \begin{bmatrix} -1 & -2 & -1 \\ 0 & 0 & 0 \\ 1 & 2 & 1 \end{bmatrix} \quad SW = \begin{bmatrix} 0 & -1 & -2 \\ 1 & 0 & -1 \\ 2 & 1 & 0 \end{bmatrix}$$

$$NW = \begin{bmatrix} 1 & 0 & -1 \\ 2 & 0 & -2 \\ 1 & 0 & -1 \end{bmatrix} \quad NE = \begin{bmatrix} -2 & -1 & 0 \\ -1 & 0 & 1 \\ 0 & 1 & 2 \end{bmatrix}$$

Gambar 2.5. Matriks Konvolusi Operator Robinson.

### 3.3. Operator Laplacian

Metode lain untuk menentukan tepi adalah menggunakan derivatif orde kedua. Perbedaan penggunaan derivatif pertama dan kedua dapat dilihat pada grafik berikut (Yaniv, 2002):



Gambar 2.6. Perbedaan Tepi dengan Derivatif Pertama dan Tepi dengan Derivatif Kedua.

Dari Gambar 2.6. maka dapat dilihat terdapat *zero-crossing* antara gradien positif dan negatif yang dihasilkan tiap piksel. Sehingga dapat disimpulkan derivatif kedua bersifat lebih peka terhadap perubahan intensitas piksel. Kepekaan operator derivatif kedua terhadap perubahan intensitas piksel dapat ditunjukkan

dengan kepekaannya terhadap *noise*. Maka dari itu, deteksi tepi dengan Laplacian selalu menggunakan *Gaussian smoothing* untuk mengurangi *noise* terlebih dahulu sebelum dilakukan konvolusi dengan matriks konvolusi.

Operator Laplacian dinotasikan dalam persamaan berikut:

$$\nabla^2 f(x, y) = \frac{\partial^2 f}{\partial x^2} + \frac{\partial^2 f}{\partial y^2} \quad (2.11)$$

Penurunan salah satu pendekatan matriks konvolusi untuk operator Laplacian ditunjukkan dalam hubungan persamaan-persamaan berikut:

$$\frac{\partial^2 f}{\partial x^2} = f(x-1, y) - 2(f(x, y) + f(x+1, y)) \quad (2.12)$$

$$\frac{\partial^2 f}{\partial y^2} = f(x, y-1) - 2(f(x, y) + f(x, y+1)) \quad (2.13)$$

$$\nabla^2 f = -4f(x, y) + f(x+1, y) + f(x-1, y) + f(x, y+1) + f(x, y-1) \quad (2.14)$$

Dari persamaan di atas dan menggunakan acuan matriks D pada Gambar 2.5, maka dapat ditentukan matriks konvolusi operator Laplacian:

$$\nabla^2 f = -4f(x, y) + f(x+1, y) + f(x-1, y) + f(x, y+1) + f(x, y-1) \quad (2.15)$$

$$\nabla^2 f = -4w5 + (w2 + 24 + w6 + w8) \quad (2.16)$$

Sehingga diperoleh matriks konvolusi Laplacian :

$$G = \begin{bmatrix} 0 & 1 & 0 \\ 1 & -4 & 1 \\ 0 & 1 & 0 \end{bmatrix} \quad (2.17)$$

Matriks konvolusi operator Laplacian yang biasa digunakan adalah (Jain, 1995):

$$\begin{matrix}
 \begin{bmatrix} -1 & -1 & -1 \\ -1 & 8 & -1 \\ -1 & -1 & -1 \end{bmatrix} & \begin{bmatrix} 0 & 1 & 0 \\ 1 & -4 & 1 \\ 0 & 1 & 0 \end{bmatrix} & \begin{bmatrix} 0 & 0 & -1 & 0 & 0 \\ 0 & -1 & -2 & -1 & 0 \\ -1 & -2 & 16 & -2 & -1 \\ 0 & -1 & -2 & -1 & 0 \\ 0 & 0 & -1 & 0 & 0 \end{bmatrix} \\
 \text{(a)} & \text{(b)} & \text{(c)}
 \end{matrix}$$

**Gambar 2.7 Matriks Konvolusi Deteksi Tepi dengan Operator Laplacian.**

### 3.4. Detektor Tepi Canny

Salah satu metode pengembangan deteksi tepi tradisional yang sering digunakan adalah detektor Canny. Canny memberikan metode penemuan tepi dengan langkah-langkah (Lee, 2002):

1. Melakukan konvolusi dengan matriks  $G_x$  dan  $G_y$  untuk menentukan gradien citra dengan arah sumbu  $x$  dan arah sumbu  $y$ , dimana matriks  $G_x$  dan  $G_y$  ditentukan dari derivatif parsial persamaan Gaussian. Penggunaan derivatif parsial Gaussian untuk menentukan gradien  $G_x$  dan gradien  $G_y$  dapat dilihat pada hubungan persamaan-persamaan berikut. Persamaan Gaussian

$h(x, y) = e^{-\frac{x^2+y^2}{2\sigma^2}}$  memberikan derivatif parsial  $G_x = \frac{\partial h}{\partial x} = -\frac{x}{\sigma^2} G$  dan

$G_y = \frac{\partial h}{\partial y} = -\frac{y}{\sigma^2} G$  untuk menentukan gradien  $G_x$  dan  $G_y$ . Langkah

selanjutnya adalah menentukan *magnitude* citra dengan rumus

$magnitude(\nabla f) = \sqrt{G_x^2 + G_y^2}$ . Persamaan Gaussian jika

diimplementasikan sebagai matrik dalam jendela  $3 \times 3$  akan untuk memperoleh matriks  $G_x$  dan  $G_y$  dapat dilihat sebagai berikut (Yaniv, 2002):



$$h(x, y) = \begin{bmatrix} e^{-\frac{2}{2\sigma^2}} & e^{-\frac{1}{2\sigma^2}} & e^{-\frac{2}{2\sigma^2}} \\ e^{-\frac{1}{2\sigma^2}} & e^0 & e^{-\frac{1}{2\sigma^2}} \\ e^{-\frac{2}{2\sigma^2}} & e^{-\frac{1}{2\sigma^2}} & e^{-\frac{2}{2\sigma^2}} \end{bmatrix} \quad (2.18)$$

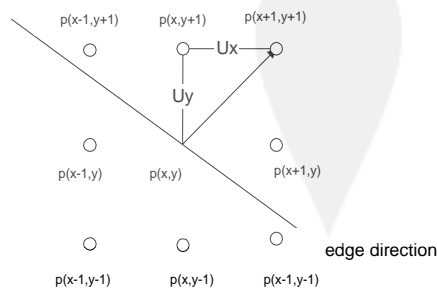
$$G_y = \begin{bmatrix} -\frac{1}{\sigma^2} e^{-\frac{2}{2\sigma^2}} & -\frac{1}{\sigma^2} e^{-\frac{1}{2\sigma^2}} & -\frac{1}{\sigma^2} e^{-\frac{2}{2\sigma^2}} \\ 0 & 0 & 0 \\ \frac{1}{\sigma^2} e^{-\frac{2}{2\sigma^2}} & \frac{1}{\sigma^2} e^{-\frac{1}{2\sigma^2}} & \frac{1}{\sigma^2} e^{-\frac{2}{2\sigma^2}} \end{bmatrix} \quad G_x = \begin{bmatrix} -\frac{1}{\sigma^2} e^{-\frac{2}{2\sigma^2}} & 0 & -\frac{1}{\sigma^2} e^{-\frac{2}{2\sigma^2}} \\ -\frac{1}{\sigma^2} e^{-\frac{1}{2\sigma^2}} & 0 & -\frac{1}{\sigma^2} e^{-\frac{1}{2\sigma^2}} \\ -\frac{1}{\sigma^2} e^{-\frac{2}{2\sigma^2}} & 0 & -\frac{1}{\sigma^2} e^{-\frac{2}{2\sigma^2}} \end{bmatrix} \quad (2.19)$$

Sehingga diperoleh matriks konvolusi  $G_x$  dan  $G_y$ :

$$G_y = \begin{bmatrix} \frac{1}{\sigma^2} e^{-\frac{2}{2\sigma^2}} & \frac{1}{\sigma^2} e^{-\frac{1}{2\sigma^2}} & \frac{1}{\sigma^2} e^{-\frac{2}{2\sigma^2}} \\ 0 & 0 & 0 \\ -\frac{1}{\sigma^2} e^{-\frac{2}{2\sigma^2}} & -\frac{1}{\sigma^2} e^{-\frac{1}{2\sigma^2}} & -\frac{1}{\sigma^2} e^{-\frac{2}{2\sigma^2}} \end{bmatrix} \quad G_x = \begin{bmatrix} \frac{1}{\sigma^2} e^{-\frac{2}{2\sigma^2}} & 0 & -\frac{1}{\sigma^2} e^{-\frac{2}{2\sigma^2}} \\ \frac{1}{\sigma^2} e^{-\frac{1}{2\sigma^2}} & 0 & -\frac{1}{\sigma^2} e^{-\frac{1}{2\sigma^2}} \\ \frac{1}{\sigma^2} e^{-\frac{2}{2\sigma^2}} & 0 & -\frac{1}{\sigma^2} e^{-\frac{2}{2\sigma^2}} \end{bmatrix}$$

Gambar 2.8 Matriks Konvolusi Operator Canny.

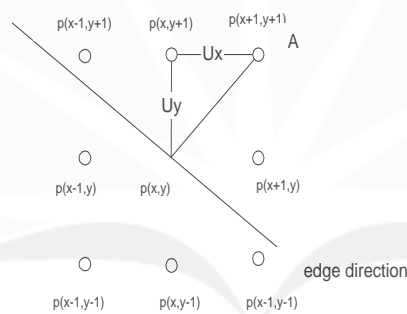
2. Melakukan *non maxima suppression* untuk menipiskan tepi citra yang telah diperoleh pada langkah pertama. Pada langkah ini tiap piksel dilakukan pengecekan apakah piksel tersebut merupakan lokal maksima pada arah gradien, jika ya maka piksel dipertahankan jika tidak maka piksel dihapus. Penentuan lokal maksima pada arah gradien dapat dilakukan menggunakan interpolasi atau ekstrapolasi titik  $p(x,y)$  (Lee, 2002).



Gambar 2.9 Interpolasi titik  $p(x,y)$ .

$p(x,y)$  adalah titik piksel yang dihitung.  $U_x$  adalah normal arah gradien dan  $U_y$  adalah proyeksi normal terhadap sumbu  $y$ . Adapun urutan langkah *non maksima suppression* adalah:

- Pada tiap piksel  $p(x,y)$  tentukan gradien  $G_x$  dan  $G_y$ , bandingkan dengan gradien tetangga yang searah, jika gradien tersebut lebih besar dari tetangga yang searah tersebut maka piksel tersebut diberi tanda untuk dipertahankan sebagai piksel tepi, tetapi jika piksel tersebut lebih kecil dari piksel tetangga searah maka dihapus.
- Melakukan estimasi gradien dengan cara memilih dua piksel terdekat (Lee, 2002).

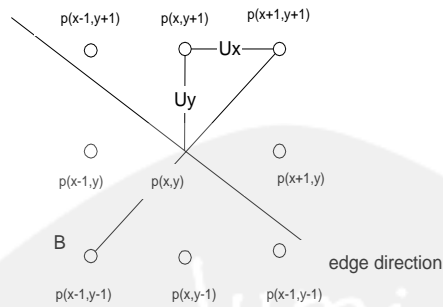


Gambar 2.10 Aproksimasi Magnitudo Gradien Pada Titik A.

Magnitudo gradien pada 3 titik yang membentuk segitiga digunakan untuk menentukan aproksimasi nilai magnitudo gradien pada titik A.

$$G_A = \frac{u_x}{u_y} G(x+1, y+1) + \frac{u_y - u_x}{u_y} G(x, y+1) \quad (2.20)$$

Gradien terinterpolasi pada sisi B ditunjukkan pada Gambar 11 (Lee, 2002)



Gambar 2.11 Aproksimasi Magnitudo  
Gradien Pada Titik B.

Aproksimasi magnitudo gradien pada titik B ditunjukkan pada persamaan:

$$G_B = \frac{u_x}{u_y} G(x-1, y-1) + \frac{u_y - u_x}{u_y} G(x, y-1) \quad (2.21)$$

c). Menentukan  $p(x,y)$  adalah maksimum jika  $G(x,y) > G_A$  dan  $G(x,y) > G_B$ .

*Non maxima suppression* dapat juga dilakukan dengan cara sebagai berikut:

- Melakukan klasifikasi arah sudut ( $\theta$ ) menjadi 8 sektor sesuai arah mata angin seperti terlihat pada Gambar 12.
- Melakukan pengecekan apakah piksel merupakan gradien maksimum pada arah yang sudah ditentukan. Jika piksel bernilai maksimum pada arah gradien maka piksel dianggap sebagai tepi. Jika tidak maka piksel tersebut bukan tepi.

135°	3	2	1	45°
180°	0	Centre Pixel	0	0°
225°	1	2	3	315°
270°				

Gambar 2.12  
Klasifikasi sudut.

3. Menggunakan *double-thresholding* T1 dan T2 dimana  $T1 > T2$ .

a. *Thresholding* pertama

Semua piksel dengan nilai *magnitude* gradien lebih besar daripada T1 diklasifikasikan elemen tepi.

b. *Thresholding* kedua

Dari  $T2 < T1$ , ambil semua piksel yang lebih besar dari T2 dan jika *magnitude* gradien lebih besar dari T2 maka klasifikasikan sebagai kandidat tepi.

c. Pada piksel kandidat tepi, tentukan apakah piksel itu tepi atau bukan dengan jika piksel tetangga dalam 8-ketetanggaan adalah tepi maka piksel tersebut adalah elemen tepi.

## **BAB III**

### **MASALAH, TUJUAN DAN MANFAAT PENELITIAN**

#### **3.1. PERUMUSAN MASALAH**

Dalam penelitian ini dapat dijabarkan beberapa perumusan masalah yang ada, yaitu :

- a. Bagaimana mengembangkan aplikasi deteksi tepi citra medis menggunakan operator kompas
- b. Bagaimana pengaruh noise dan pengolahan citra terhadap algoritma deteksi tepi yang dikembangkan

#### **3.2. TUJUAN PENELITIAN**

Tujuan penelitian ini adalah seperti berikut.

- a. Mengembangkan aplikasi deteksi tepi citra medis menggunakan operator kompas
- b. Menganalisis pengaruh noise dan pengolahan citra terhadap algoritma deteksi tepi yang dikembangkan.

#### **3.3. MANFAAT PENELITIAN**

Kegunaan aplikasi sistem pengingat perawatan kendaraan berbasis SMS adalah sebagai berikut :

- a. **Bagi pengguna:** menghasilkan tepi citra yang sering digunakan untuk mempermudah analisis data citra.
- b. **Bagi peneliti:** mampu mengembangkan dan menerapkan ilmu pengetahuan yang dikuasai.

## **BAB IV**

### **METODE PENELITIAN**

Penelitian ini dilakukan dalam beberapa tahap, sebagai berikut :

#### **4.1. Pengumpulan Bahan**

Pengumpulan bahan dengan tujuan untuk memperoleh dasar ilmu yang baik pada penerapan penelitian. Pengumpulan bahan dilakukan dengan mencari buku, jurnal, tesis yang berhubungan dengan penelitian. Pengumpulan bahan dapat memanfaatkan perpustakaan yang ada ataupun mengakses situs-situs internet yang mempublikasikan mengenai penelitian terkait. Berdasarkan bahan-bahan yang diperoleh tersebut kemudian dilakukan pembangunan perangkat keras dan perangkat lunak.

#### **4.2. Perancangan Perangkat Lunak**

Tahap ini melakukan penyusunan pemodelan perangkat lunak berdasarkan proses bisnis yang telah dianalisis. Pemodelan dilakukan untuk memudahkan dalam penyusunan perangkat lunak menggunakan *Data Flow Diagram* (DFD)

#### **4.3. Pembuatan Perangkat Lunak**

Hasil rancangan pemodelan kemudian diimplementasikan dengan menggunakan Matlab 6.1.

#### **4.4. Pengujian Perangkat Lunaks**

Perangkat lunak yang telah selesai dibangun kemudian diuji dengan beberapa jenis citra medis. Revisi perangkat lunak dapat dilakukan jika program tidak bekerja sesuai dengan yang diinginkan.

## BAB V

### ANALISIS DAN PERANCANGAN SISTEM

#### 5.1. Pengantar

Pada bab ini akan dibahas mengenai analisis dan perancangan sistem yang akan dibuat. Pokok bahasan yang terdapat dalam bab ini adalah deskripsi keseluruhan, kebutuhan khusus, kebutuhan fungsionalitas dan perancangan arsitektur sistem yang dikembangkan.

#### 5.2. Deskripsi Keseluruhan

##### 5.2.1. Perspektif Produk

Sistem ini adalah suatu program aplikasi yang digunakan untuk melakukan deteksi tepi citra medis dengan menggunakan algoritma kompas. Dengan aplikasi ini diharapkan dapat membantu user untuk melakukan deteksi tepi citra medis dan akhirnya membantu user untuk melakukan analisis terhadap citra medis tersebut.

Pada sistem ini, input data yang dapat dimasukkan user adalah: `data_citra`, `jenis_mask`, dan `parameter_threshold`. Berikut ini adalah proses yang terjadi bila digambarkan dalam sebuah diagram (Gambar 5.1).



**Gambar 5.1.** Proses pada sistem *standalone*

Data yang terdapat dalam aplikasi ini adalah data citra, yang berupa citra medis dan citra hasil deteksi tepi. Sedangkan *Personal Computer* digunakan untuk menjalankan aplikasi deteksi tepi citra ini.

Pada aplikasi ini, terdapat seorang user yang dapat menggunakan sistem ini. User akan berinteraksi dengan sistem untuk melakukan proses deteksi tepi citra dan menghitung MSE (Mean Square Error).

### **5.2.2. Fungsi Produk**

Fungsi produk perangkat lunak yang dikembangkan adalah sebagai berikut:

1. Fungsi deteksi tepi citra, adalah fungsi yang digunakan untuk melakukan deteksi tepi citra medis yang sudah dipilih oleh *user*.
2. Fungsi hitung MSE, adalah fungsi yang digunakan untuk menghitung MSE antara citra hasil deteksi tepi sebelum diberikan gangguan dan sesudah diberikan gangguan.
3. Fungsi operasi pengolahan citra, adalah fungsi yang digunakan untuk memberikan efek pengolahan citra kepada citra.

Selain fungsi-fungsi utama di atas, diberikan juga fungsi-fungsi tambahan sebagai berikut:

1. Fungsi Open, adalah fungsi yang digunakan untuk memilih citra medis, sekaligus menampilkan citra yang dipilih pada sebuah jendela.
2. Fungsi Save, adalah fungsi yang digunakan untuk menyimpan citra hasil deteksi tepi, atau dapat juga digunakan untuk menyimpan citra yang telah diolah dengan beberapa jenis operasi pengolahan citra.

### **5.2.3. Karakteristik Pengguna**

Karakteristik pengguna yang menggunakan perangkat-lunak ini adalah:

- a. Mengerti pengoperasian komputer.
- b. Memahami sistem komputer tempat perangkat-lunak dijalankan.
- c. Mengerti sistem deteksi tepi citra dengan algoritma kompas.

### **5.2.4. Batasan-batasan**

Sistem ini memiliki keterbatasan, yaitu bersifat *offline/standalone*.

## **5.3. Kebutuhan Khusus**

### **5.3.1. Kebutuhan Antarmuka Eksternal**



Kebutuhan antarmuka eksternal pada perangkat-lunak ini meliputi kebutuhan antarmuka pemakai, antarmuka perangkat-keras, antarmuka perangkat-lunak, dan antarmuka komunikasi.

### **5.3.2. Kebutuhan Antarmuka Internal**

Pengguna berinteraksi dengan antarmuka yang ditampilkan dalam layar komputer dengan format windows form dengan pilihan fungsi dan form untuk pengisian data dan tampilan informasi pada layar monitor.

### **5.3.3. Kebutuhan Antarmuka Perangkat Keras**

Antarmuka perangkat keras yang digunakan dalam perangkat-lunak ini adalah:

- a. Personal Komputer
- b. *Keyboard* dan *Mouse*
- c. Monitor

### **5.3.4. Kebutuhan Antarmuka Perangkat Lunak**

Perangkat-lunak yang dibutuhkan untuk mengoperasikan perangkat-lunak ini adalah:

- a. Nama : Matlab 6.1
- Sumber : The MathWorks, Inc.

Perangkat-lunak ini digunakan sebagai *tool* pembuatan aplikasi

- b. Nama : Microsoft Windows 2000/ XP
- Sumber : Microsoft

Perangkat lunak sebagai sistem operasi komputer

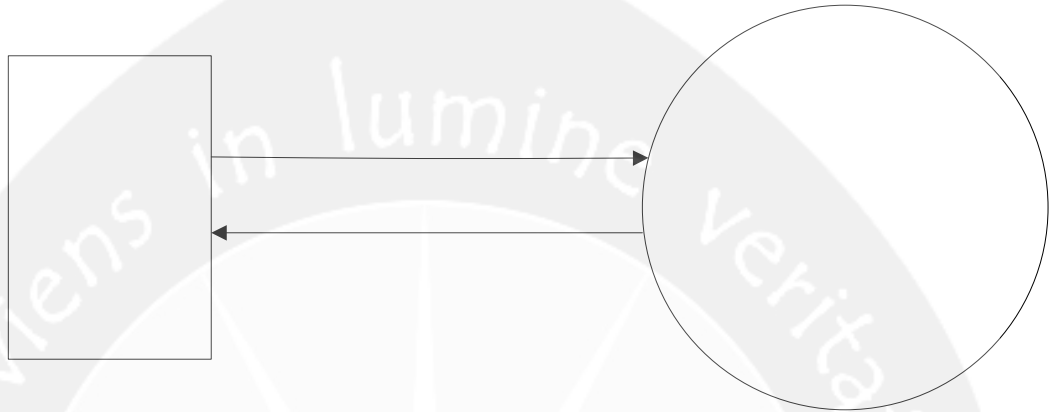
### **5.3.5. Kebutuhan Antarmuka Komunikasi**

Dalam aplikasi ini tidak digunakan antarmuka komunikasi karena aplikasi berjalan secara *standalone*.

## 5.4. Kebutuhan Fungsionalitas

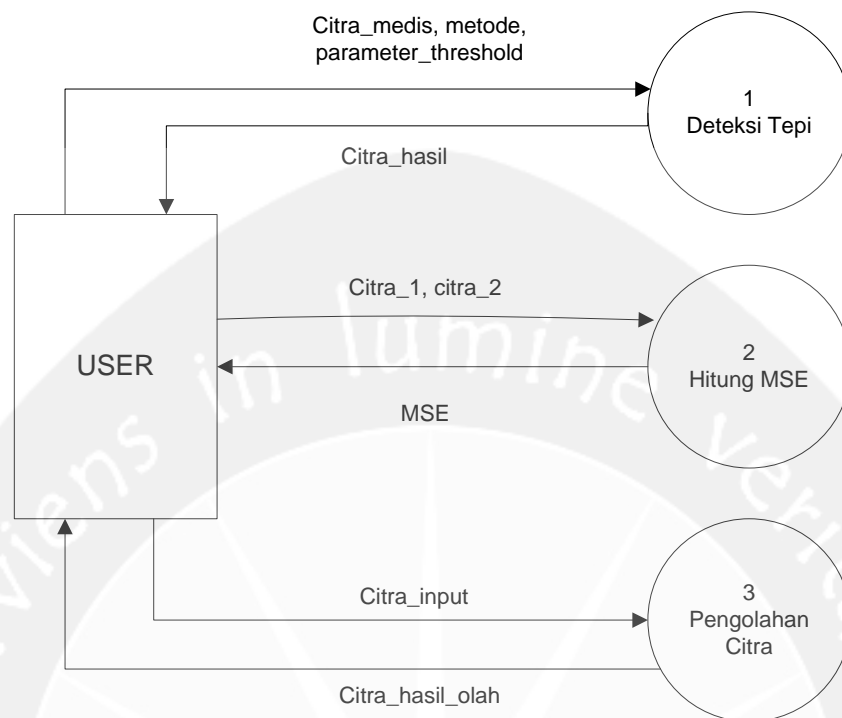
### 5.4.1. Data Flow Diagram (DFD)

*Data Flow Diagram* level 0 sistem ini dapat digambarkan sbb.



**Gambar 5.2.** DFD Level 0

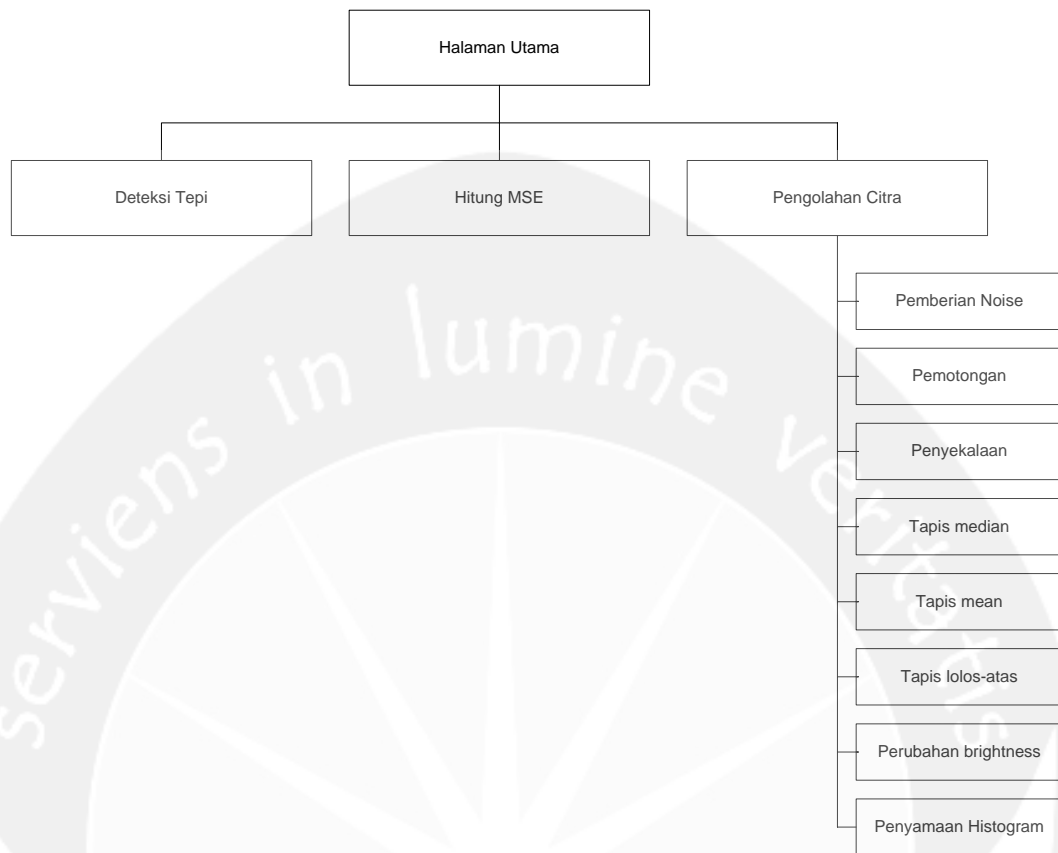
Sedangkan DFD level 1 dapat dilihat pada Gambar 5.3. Pada DFD level 1 terdapat tiga proses utama, yaitu: proses deteksi tepi, proses hitung MSE, dan proses pengolahan citra. Proses tersebut memerlukan parameter threshold yang diinputkan oleh user.



**Gambar 5.3.** DFD Level 1

#### 5.4.2. Perancangan Arsitektur Modul

Berikut ini adalah gambar modul perancangan arsitektur sistem ini:



**Gambar 5.4.** Perancangan Arsitektural Modul

Gambar 5.4 menunjukkan bahwa program secara umum terdiri dari tiga bagian, yaitu: modul yang digunakan untuk deteksi tepi, modul yang digunakan untuk menghitung MSE, dan modul yang digunakan untuk pengolahan citra. Modul yang digunakan untuk pengolahan citra dibagi menjadi beberapa modul, yaitu: modul pemberian *noise*, pemotongan video, penyekalaan video, tapis median, tapis *mean*, tapis lolos-atas, perubahan *brightness*, dan penyamaan histogram.

## **BAB VI**

### **HASIL DAN PEMBAHASAN**

#### **6.1 Hasil**

Dalam pengujian program deteksi tepi citra medis dengan menggunakan algoritma kompas digunakan berkas citra dengan kedalaman piksel 24-bit warna dan berekstensi jpg dan bmp. Dalam penelitian ini digunakan beberapa citra uji seperti terlihat dalam Gambar 6.1 – 6.4.



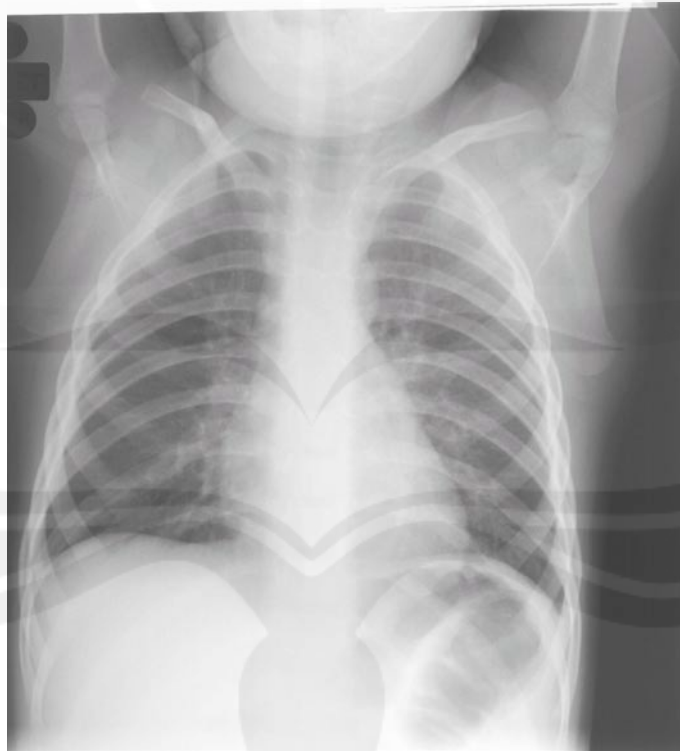
**Gambar 6.1.** Citra elbow.jpg



**Gambar 6.2.** Citra hand.bmp



**Gambar 6.3.** Citra left-shoulder.bmp

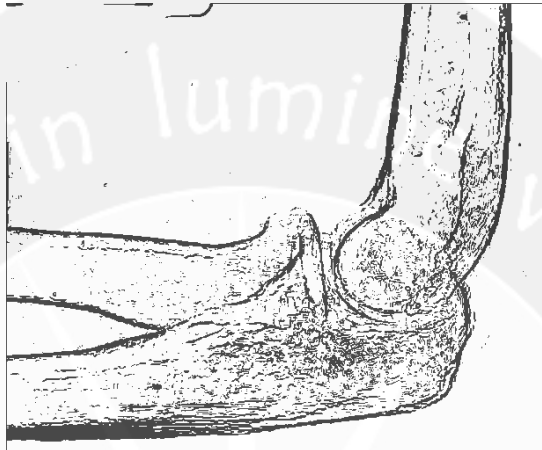


**Gambar 6.4.** Citra lung.bmp

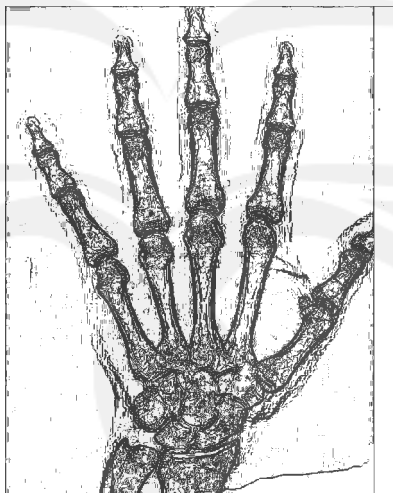
Pada penelitian ini akan dikembangkan algoritma deteksi tepi citra medis dengan algoritma kompas. Dalam penelitian ini akan digunakan operator kompas dan Kirsch.

## 6.2. Deteksi Tepi Citra dengan menggunakan Operator Kompas

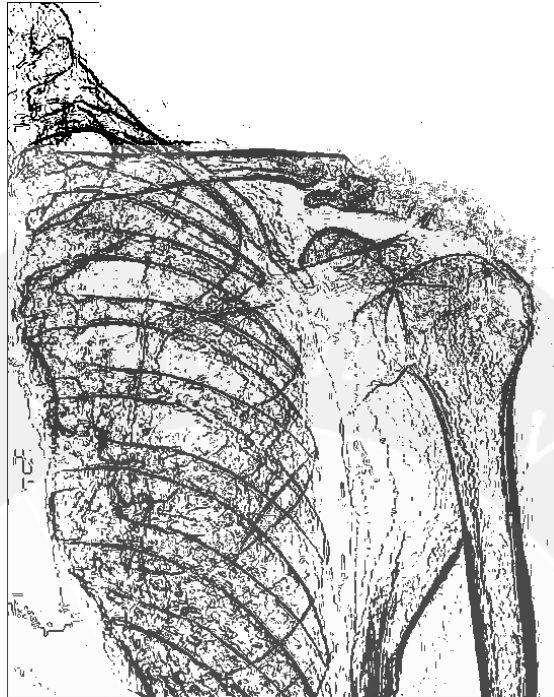
Gambar 6.5 – 6.8 merupakan hasil proses deteksi tepi citra dengan menggunakan operator Kompas.



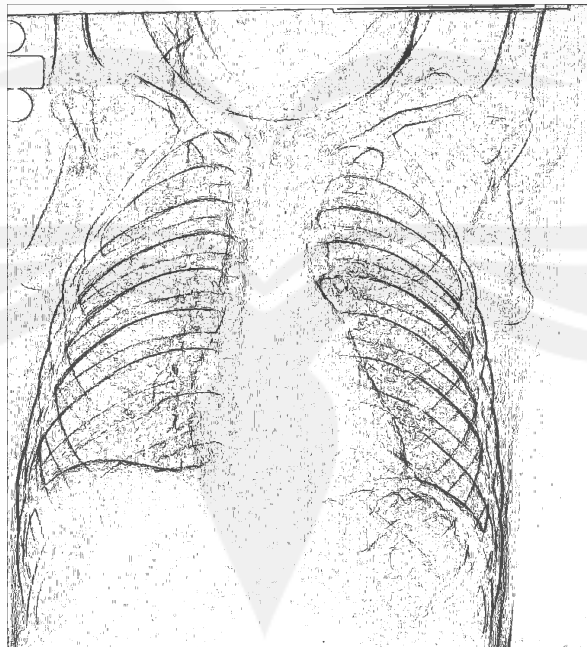
**Gambar 6.5.** Citra hasil deteksi tepi citra elbow.jpg menggunakan operator Kompas



**Gambar 6.6.** Citra hasil deteksi tepi citra hand.jpg menggunakan operator Kompas



**Gambar 6.7.** Citra hasil deteksi tepi citra left-shoulder.jpg menggunakan operator Kompas

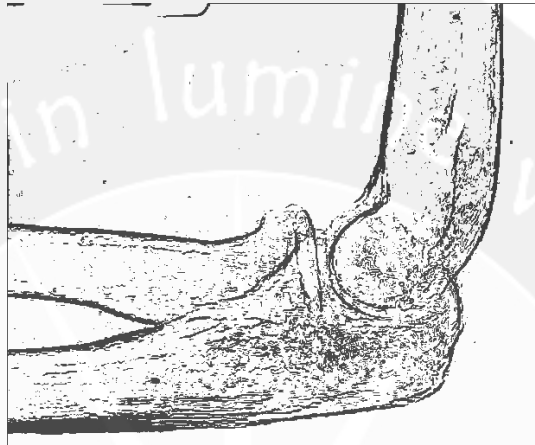


**Gambar 6.8.** Citra hasil deteksi tepi citra lung.jpg menggunakan operator Kompas

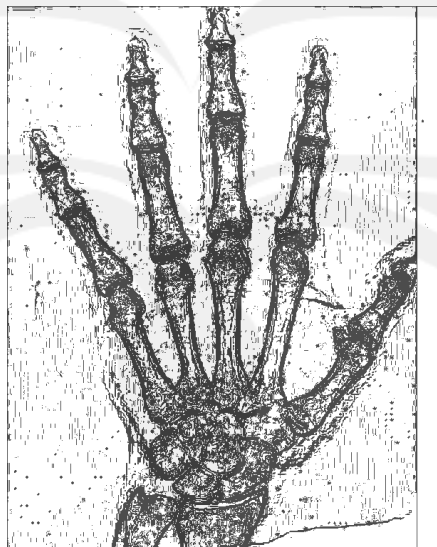


### 6.3. Deteksi Tepi Citra dengan menggunakan Operator Kirsch

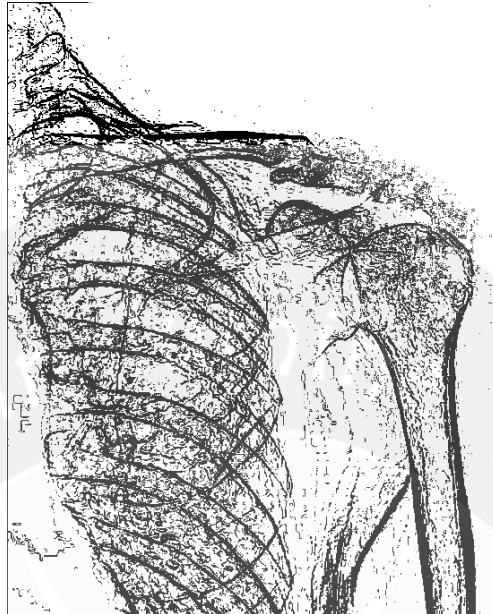
Gambar 6.9 – 6.12 merupakan hasil proses deteksi tepi citra dengan menggunakan operator Kirsch.



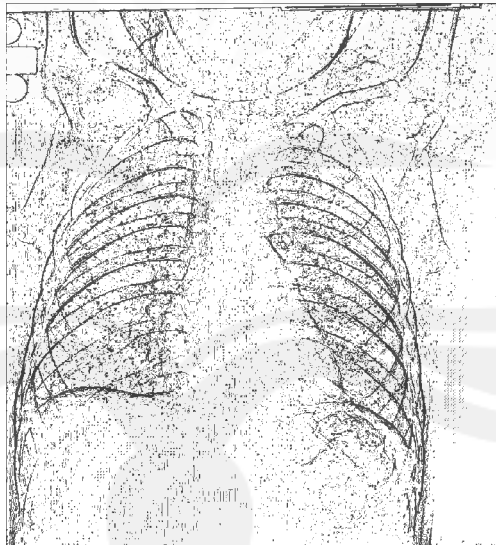
**Gambar 6.9.** Citra hasil deteksi tepi citra elbow.jpg menggunakan operator Kirsch



**Gambar 6.10.** Citra hasil deteksi tepi citra hand.jpg menggunakan operator Kirsch



**Gambar 6.11.** Citra hasil deteksi tepi citra left-shoulder.jpg menggunakan operator Kirsch



**Gambar 6.12.** Citra hasil deteksi tepi citra lung.jpg menggunakan operator Kirsch

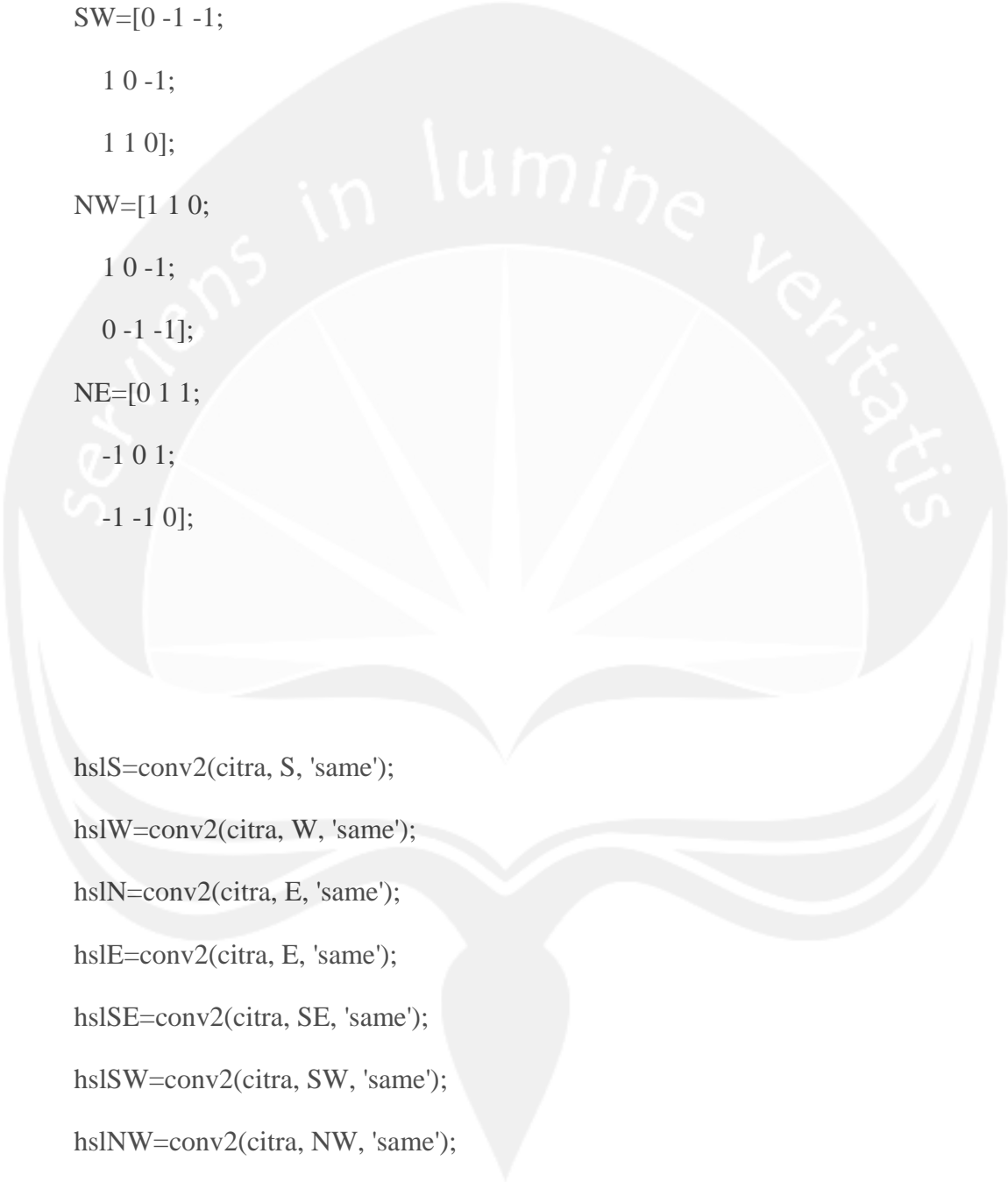
#### 6.4. Pembahasan Program

Cuplikan program dengan menggunakan Matlab berikut ini adalah digunakan untuk melakukan deteksi tepi citra dengan menggunakan Operator Kompas:

```
%deteksi dgn kompas
clear;
treshhold = 20;

citra = imread('elbowSalt-0_01.jpg');
citra = rgb2gray(citra);

S=[-1 -1 -1;
    0 0 0;
    1 1 1];
W=[1 0 -1;
    1 0 -1;
    1 0 -1];
N=[1 1 1;
    0 0 0;
    -1 -1 -1];
E=[-1 0 1;
    -1 0 1;
    -1 0 1];
SE=[-1 -1 0;
```



```
-1 0 1;  
0 1 1];  
SW=[0 -1 -1;  
1 0 -1;  
1 1 0];  
NW=[1 1 0;  
1 0 -1;  
0 -1 -1];  
NE=[0 1 1;  
-1 0 1;  
-1 -1 0];
```

```
hslS=conv2(citra, S, 'same');  
hslW=conv2(citra, W, 'same');  
hslN=conv2(citra, E, 'same');  
hslE=conv2(citra, E, 'same');  
hslSE=conv2(citra, SE, 'same');  
hslSW=conv2(citra, SW, 'same');  
hslNW=conv2(citra, NW, 'same');  
hslNE=conv2(citra, NE, 'same');
```

```
[baris, kolom]=size(citra);
```

```

for i=1: baris
    for j=1:kolom
        hasil(i,j)=max([hslS(i,j) hslW(i,j) hslN(i,j) hslE(i,j) hslSE(i,j) hslSW(i,j)
hslNW(i,j) hslNE(i,j)], [],2);
        if hasil(i,j)>= threshhold
            hasil(i,j)=1;
        else
            hasil(i,j)=0;
        end
    end
end

imshow(not(hasil));
imwrite(not(hasil), 'elbowSalt-0_01kompas.png','png', 'bitdepth', 1);

```

Cuplikan program dengan menggunakan Matlab berikut ini adalah digunakan untuk melakukan deteksi tepi citra dengan menggunakan Operator Kirsch:

```

%deteksi dgn Kirsch
clear;
threshhold = 180;

citra = imread('elbowHPF.jpg');

```

```
citra = rgb2gray(citra);
```

```
S=[5 5 5;
```

```
   -3 0 -3;
```

```
   -3 -3 -3];
```

```
W=[-3 5 5;
```

```
   -3 0 5;
```

```
   -3 -3 -3];
```

```
N=[-3 -3 5;
```

```
   -3 0 5;
```

```
   -3 -3 5];
```

```
E=[5 5 -3;
```

```
   5 0 -3;
```

```
   -3 -3 -3];
```

```
SE=[-3 -3 -3;
```

```
   -3 0 -3;
```

```
   5 5 5];
```

```
SW=[-3 -3 -3;
```

```
   5 0 -3;
```

```
   5 5 -3];
```

```
NW=[5 -3 -3;
```

```
   5 0 -3;
```

```
   5 -3 -3];
```

```
NE=[-3 -3 -3;
```

```
   -3 0 5;
```

```
   -3 5 5];
```

```
hslS=conv2(citra, S, 'same');
```

```
hslW=conv2(citra, W, 'same');
```

```
hslN=conv2(citra, E, 'same');
```

```

hslE=conv2(citra, E, 'same');
hslSE=conv2(citra, SE, 'same');
hslSW=conv2(citra, SW, 'same');
hslNW=conv2(citra, NW, 'same');
hslNE=conv2(citra, NE, 'same');

[baris, kolom]=size(citra);
for i=1: baris
    for j=1:kolom
        hasil(i,j)=max([hslS(i,j) hslW(i,j) hslN(i,j) hslE(i,j) hslSE(i,j) hslSW(i,j)
hslNW(i,j) hslNE(i,j)], [],2);
        if hasil(i,j)>= threshhold
            hasil(i,j)=1;
        else
            hasil(i,j)=0;
        end
    end
end


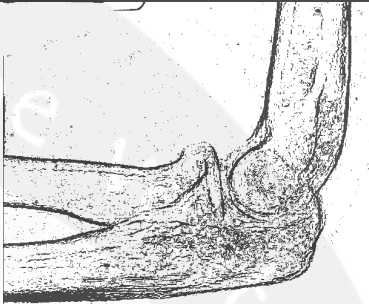

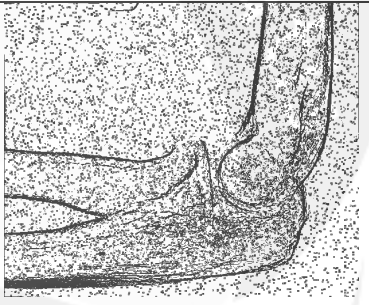
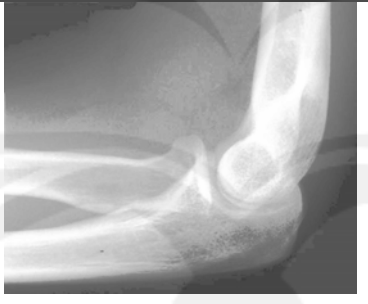
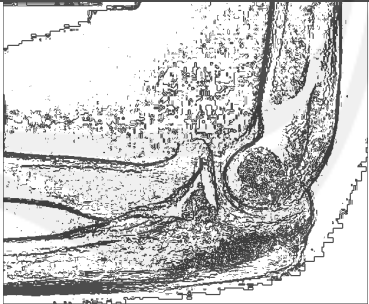

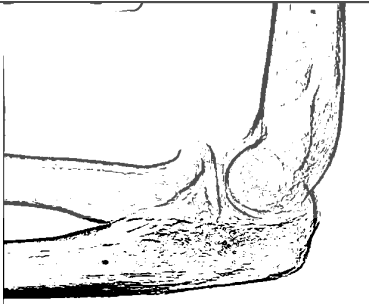
imshow(not(hasil));
imwrite(not(hasil), 'elbowHPFKirsch.png','png', 'bitdepth', 1);

```




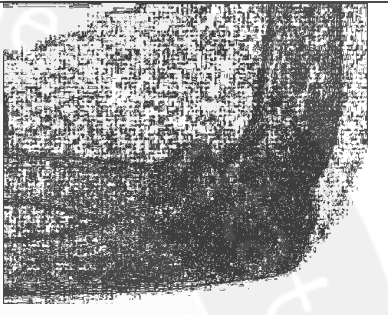
### 6.5. Pengaruh *Noise* dan Operasi Pengolahan Citra terhadap Algoritma yang Dikembangkan

Untuk uji pengaruh noise dan Operasi Pengolahan Citra akan digunakan citra elbow.jpg pada Operator Kompas. Tabel 6.1. merupakan hasil pengujian dengan menggunakan *noise Gaussian*, *noise salt and pepper*, *histogram equalization*, penapisan tapis lolos bawah (*Low Pass Filter*) dan penapisan tapis lolos atas (*High Pass Filter*).

**Tabel 6.1.** Hasil Ujicoba dengan *Noise* dan Operasi Pengolahan Citra Pada Operator Kompas

Gangguan	Citra setelah Diolah	Hasil Deteksi Tepi
<i>Noise gaussian, noise variants = 0.0001</i>		
<i>Noise salt and pepper Intensitas 0.01</i>		
<i>Histogram Equalization</i>		
<i>Low Pass Filter 3x3</i>		


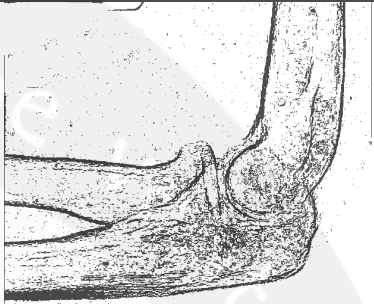

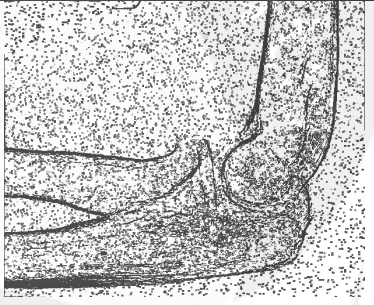
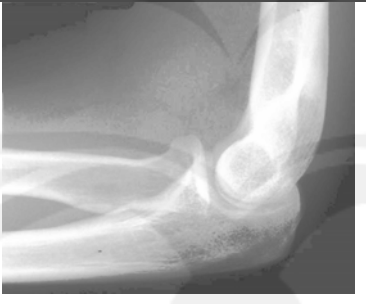
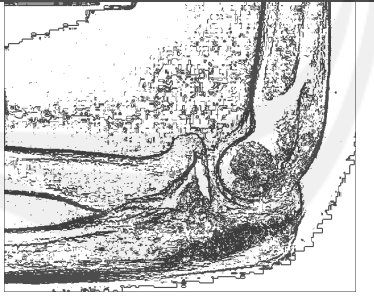





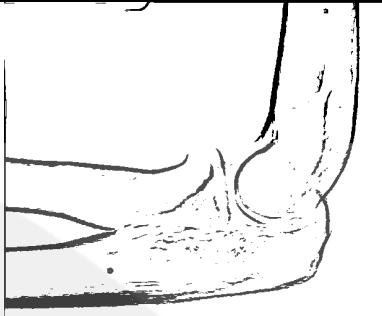

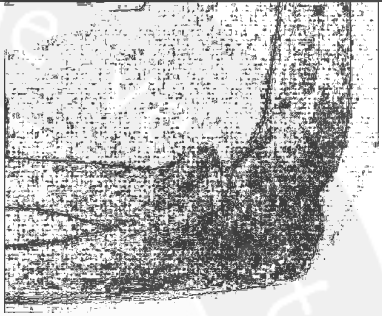
<i>Low Pass Filter</i> 5x5		
<i>High Pass Filter</i>		

Berdasarkan hasil pengujian yang ditunjukkan pada Tabel 6.1, hasil deteksi tepi citra akan mengalami gangguan pada saat citra diberikan operasi pengolahan citra. Hasil operasi deteksi tepi citra yang dikembangkan akan mengalami gangguan yang signifikan apabila diberikan gangguan *noise salt and pepper*, *histogram equalization*, dan operasi penapisan dengan tapis lolos atas (*High Pass Filtering*). Ketiga operasi pengolahan citra ini akan menambahkan efek pseudo edge (tepi semu) pada hasil deteksi citranya.


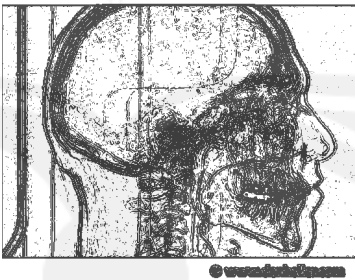
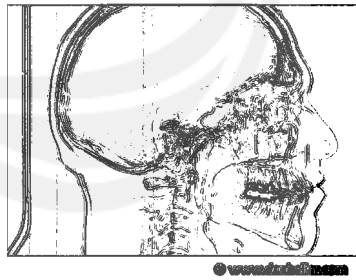
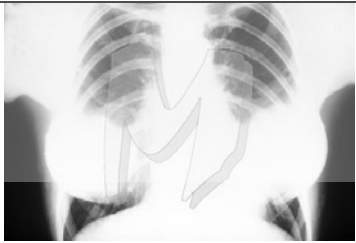
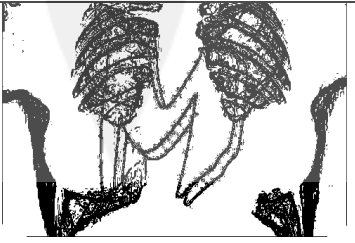
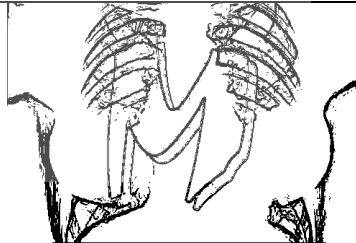
Algoritma yang dikembangkan cukup dapat bertahan terhadap pengolahan citra pemberian *noise Gaussian* dan penapisan lolos bawah (*Low Pass Filtering*). Dengan menggunakan penapisan tapis lolos bawah akan diperoleh detail tepi yang lebih sedikit dibandingkan tanpa diolah dengan *Low Pass Filtering*. Pemberian *noise Gaussian* juga tidak mempunyai efek yang signifikan terhadap algoritma yang dikembangkan.

**Tabel 6.2.** Hasil Ujicoba dengan *Noise* dan Operasi Pengolahan Citra Pada Operator Kirsch

Gangguan	Citra setelah Diolah	Hasil Deteksi Tepi
<i>Noise gaussian, noise variants = 0.0001</i>		
<i>Noise salt and pepper Intensitas 0.01</i>		
<i>Histogram Equalization</i>		
<i>Low Pass Filter 3x3</i>		

<i>Low Pass Filter</i> 5x5		
<i>High Pass Filter</i>		

**Tabel 6.3.** Hasil Uji Coba dengan Citra Lain

Citra	Hasil Detektor Kompas	Hasil Detektor Kirsch
		
		

Tabel 6.3 merupakan contoh hasil pengujian deteksi tepi dengan operator kompas dan operator Kirsch dengan menggunakan citra lain. Berdasarkan penelitian yang dilakukan, parameter threshold sangat menentukan tepi yang diperoleh.



## **BAB VII**

### **KESIMPULAN DAN SARAN**

#### **7.1. Kesimpulan**

1. Aplikasi deteksi tepi citra medis menggunakan algoritma kompas ini telah dapat dikembangkan
2. Hasil operasi deteksi tepi citra yang dikembangkan akan mengalami gangguan yang signifikan apabila diberikan gangguan *noise salt and pepper*, *histogram equalization*, dan operasi penapisan dengan tapis lolos atas (*High Pass Filtering*). Algoritma yang dikembangkan cukup dapat bertahan terhadap pengolahan citra pemberian *noise Gaussian* dan penapisan lolos bawah (*Low Pass Filtering*).

#### **7.2. Saran**

1. Dapat dikembangkan algoritma deteksi tepi citra dengan metode yang lain, misalnya operator Laplacian, ataupun Canny detektor.

## DAFTAR PUSTAKA

- Benjelloun Mohammed, Said Mahmoudi, 2007, *Mobility Estimation and Analysis in Medical X-ray Images Using Corners and Faces Contours Detection*, International Machine Vision and Image Processing Conference (IMVIP 2007), pp. 106-116
- Bingrong Wu, Xie Mei, 2008, *An Interactive Segmentation of Medical Image Series*, 2008 International Seminar on Future BioMedical Information Engineering, pp. 7-10
- Gonzalez Manuel Hidalgo, Arnau Mir Torres, Joan Torrens Sastre, 2009, *Noisy Image Edge Detection Using an Uninorm Fuzzy Morphological Gradient*, 2009 Ninth International Conference on Intelligent Systems Design and Applications, pp. 1335-1340
- Lee Bin, Yan Jia-yong, Zhuang Tian-ge, 2001, *A Dynamic Programming Based Algorithm for Optimal Edge Detection in Medical Images*, International Workshop on Medical Imaging and Augmented Reality (MIAR '01)
- Naef M., O. Kuebler, G. Szekely, R. Kikinis, M.E. Shenton, 1996, *Characterization and Recognition of 3D Organ Shape in Medical Image Analysis Using Skeletonization*, 1996 Workshop on Mathematical Methods in Biomedical Image Analysis (MMBIA '96), pp. 0139
- Selvarasu N., Sangeetha Vivek, N.M. Nandhitha, 2007, *Performance Evaluation of Image Processing Algorithms for Automatic Detection and Quantification of Abnormality in Medical Thermograms*, International Conference on Computational Intelligence and Multimedia Applications (ICCIMA 2007), pp. 388-393
- Suzuki Kenji, Isao Horiba, Noboru Sugie, 2003, *Neural Edge Enhancer for Supervised Edge Enhancement from Noisy Images*, IEEE Transactions on Pattern Analysis and Machine Intelligence, pp. 1582-1596
- Thangam SV, Deepak, SK, 2009, *An Effective Edge Detection Methodology for Medical Images Based on Texture Discrimination*, Seventh International Conference on Advances in Pattern Recognition

Zeng Yanjun, Tu Chengyuan, Zhang Xiaojun, 2008, *Fuzzy-Set Based Fast Edge Detection of Medical Image*, 2008 Fifth International Conference on Fuzzy Systems and Knowledge Discovery

